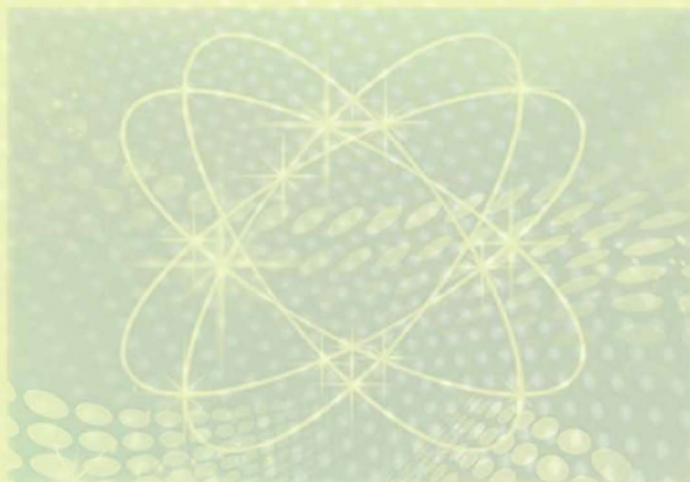


地理



重庆大学出版社

目 录

测试题

地球与地图 测试题	1
行星地球 测试题	3
地球上的大气 测试题	5
地球上的水 测试题	8
地表形态的塑造 测试题	10
自然地理环境的整体性和差异性 测试题	13
人口的变化 测试题	16
城市与城市化 测试题	19
农业地域的形成与发展 测试题	23
工业地域的形成与发展 测试题	26
交通布局及其影响 测试题	28
区域发展 测试题(一)	31
区域发展 测试题(二)	34
旅游地理 测试题	37
环境保护 测试题	40

答案解析

地球与地图 答案解析	43
行星地球 答案解析	44
地球上的大气 答案解析	45

地球上的水 答案解析	46
地表形态的塑造 答案解析	47
自然地理环境的整体性和差异性 答案解析	48
人口的变化 答案解析	49
城市与城市化 答案解析	51
农业地域的形成与发展 答案解析	52
工业地域的形成与发展 答案解析	54
交通布局及其影响 答案解析	55
区域发展 答案解析(一)	56
区域发展 答案解析(二)	57
旅游地理 答案解析	59
环境保护 答案解析	60

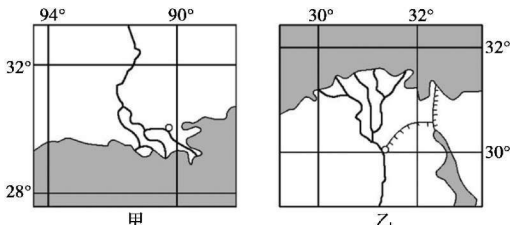


测试题

地球与地图 测试题

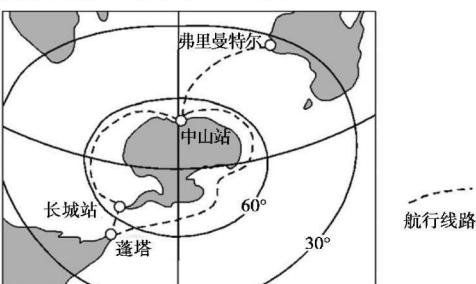
一、选择题

读“世界两著名的三角洲图”,完成1~2题。



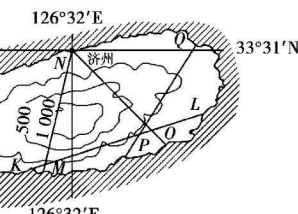
1. 图甲中河流河口位于图乙中河流河口位置的()。
 - A. 东南方
 - B. 西南方
 - C. 东北方
 - D. 西北方
2. 与图乙比较,有关图甲的叙述,正确的是()。
 - A. 比例尺较大,表示的范围较大,图上内容较简单
 - B. 比例尺较小,表示的范围较小,图上内容较详细
 - C. 比例尺较小,表示的范围较大,图上内容较简单
 - D. 比例尺较大,表示的范围较小,图上内容较详细

2015年11月7日,中国第32次南极科学考察队乘“雪龙”号破冰船从上海出发,途经弗里曼特尔(32.1° S, 115.8° E)、中山站(69.4° S, 76.4° E)、长城站(62.2° S, 58.9° W)和蓬塔(53.1° S, 70.9° W),这是“雪龙”号的第二次环南极航行。读“雪龙号环南极航行线路图”,完成3~4题。

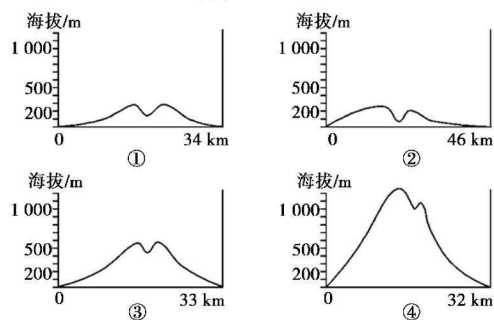


3. 长城站位于中山站的()。
 - A. 东北
 - B. 西北
 - C. 东南
 - D. 西南
4. 弗里曼特尔到蓬塔的最短距离约()。
 - A. 2 300 km
 - B. 6 300 km
 - C. 10 500 km
 - D. 15 500 km

图甲是韩国南端济州岛的等高线地形图,图乙是图甲中MN、NO、PQ、KL四线的地形剖面图。读图回答5~6题。



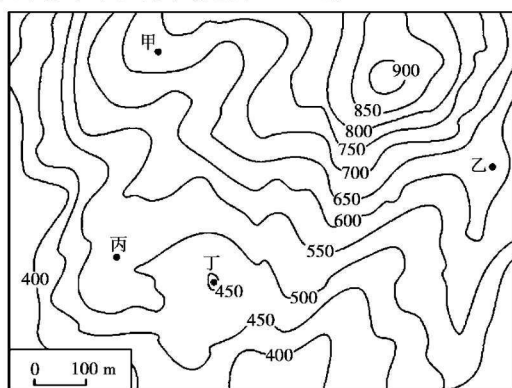
图甲



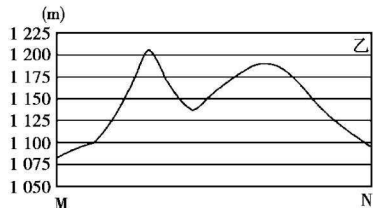
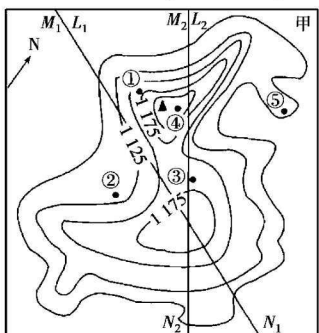
图乙

5. 与剖面线MN、NO、PQ、KL相对应的地形剖面图依次是()。
 - A. ③④②①
 - B. ④③①②
 - C. ①③④②
 - D. ④②①③
6. 关于两图中的比例尺的说法中,正确的是()。
 - A. 甲乙两图水平比例尺相等
 - B. 甲图水平比例尺大于乙图
 - C. 乙图①②③④水平比例尺相等
 - D. 乙图垂直比例尺大于水平比例尺

下图是福州市城区边缘某区域等高线地形图,图中数字单位为米,完成7~8题。

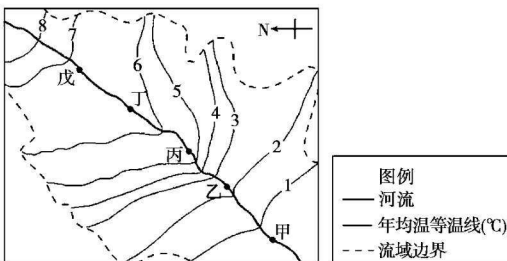


7. 图中最高点和最低点的高差可能为()。
 A. 500 m B. 550 m C. 600 m D. 650 m
8. 图中有一座占地 17000 m^2 的寺庙, 有“进山不见寺”的特点。该寺庙最可能位于()。
 A. 甲处 B. 乙处 C. 丙处 D. 丁处
- 读某风景区等高线图, 回答 9 题。



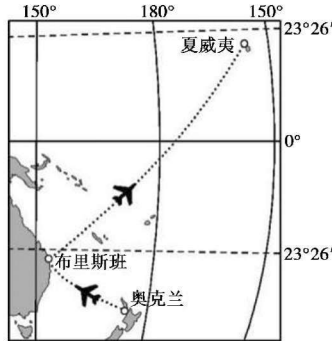
9. 下列说法正确的是()。
 A. ①②两点的相对高度可能是 75 m
 B. ⑤点位于④点的正东方向
 C. 乙图中的地形剖面图是依据等高线图中的 L_1 线绘制的
 D. 乙图中的地形剖面图是依据等高线图中的 L_2 线绘制的

读我国某河流上游部分河段年平均气温分布示意图, 完成 10~11 题。



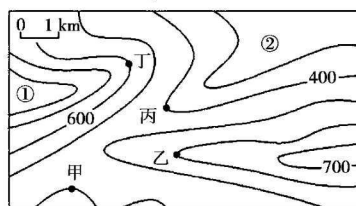
10. 该河流的流向大致为()。
 A. 自东南向西北 B. 自西北向东南
 C. 自西南向东北 D. 自东北向西南
11. 水能资源最丰富的河段是()。
 A. 甲乙河段 B. 乙丙河段
 C. 丙丁河段 D. 丁戊河段

哈格迈尔先生在他 2014 年生日当天, 乘飞机从奥克兰出发, 经过布里斯班到夏威夷旅行, 旅行线路如下图所示。据此完成 12~13 题。



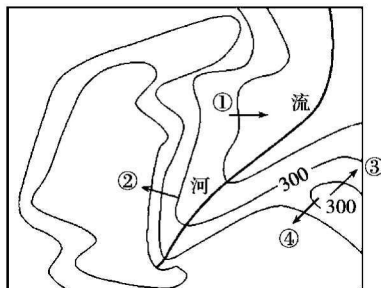
12. 哈格迈尔先生所乘飞机的飞行方向为()。
 A. 先东南, 后东北 B. 先西北, 后东北
 C. 先东北, 后西南 D. 先东南, 后西北
13. 这趟旅程长约()。
 A. 5 000 km B. 10 000 km
 C. 15 000 km D. 20 000 km

读某地等高线图, 完成 14~15 题。



14. 对图中各点的叙述正确的是()。
 A. 甲处的海拔可能为 500 m 或 400 m
 B. 乙处可能有河流发育
 C. 丙处设火情瞭望台可通视全区域
 D. 丁处宜建居民区
15. 图中①②之间的相对高度可能是()。
 A. 400 m B. 500 m C. 600 m D. 700 m

下图为“某区域等高线地形图(等高距为 50 m)”。读图回答 16~17 题。

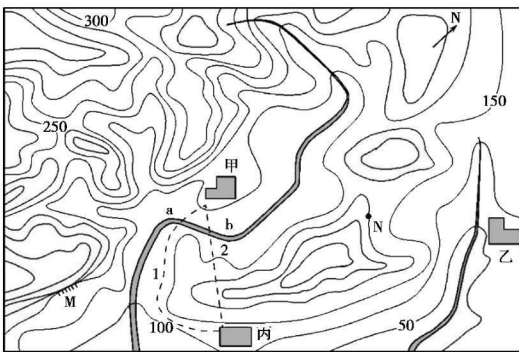


16. 图示区域的地形主要为()。
 A. 高原 B. 平原 C. 山地 D. 丘陵

17. 图中能正确表示河流集水方向的箭头是()。
A. ① B. ② C. ③ D. ④

二、综合题

18. 读某地等高线地形图,甲乙丙是聚落,回答以下问题。

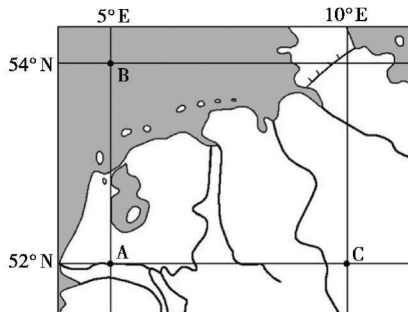


(1) 图中有一陡崖M其高度至少_____米;乙村位于甲村_____方向。

(2) 计划在甲村前河流a、b两处修建一码头,你认为_____处更合理,理由是_____。

- (3) 计划在甲村和丙村间修一公路,1、2方案哪个更合理,理由是_____。

19. 下图为“世界某区域地图”,读图回答问题。



(1) 图中C在B的_____方向。若一架飞机从A向C飞行,其最短飞行方向是_____。

(2) AC间距离与AB间距离相比较,AC_____AB(>或<),其中AB实际距离大约为_____km。

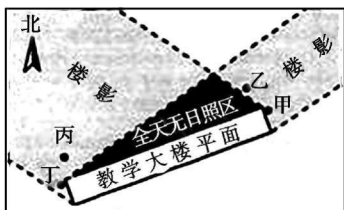
(3) 说明该区域的地理位置,并判断该区域主要气候类型。

(4) 说明该区域地形特征,并说明判断依据。

行星地球 测试题

一、选择题

我国某校地理兴趣小组对教学大楼四周日照情况进行了观测。下图示意某日教学大楼日出、日落时楼影分布。据此回答1~2题。



1. 该日接受日照时间最长的地点是()。

A. 甲地 B. 乙地 C. 丙地 D. 丁地

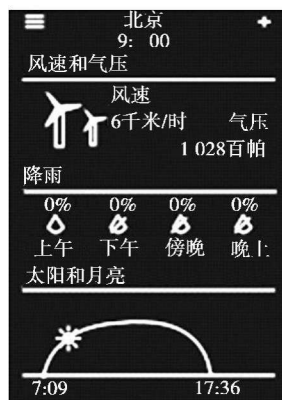
2. 该日当地的昼长约为()。

A. 3小时 B. 15小时 C. 9小时 D. 18小时

下图为“手机软件Yahoo weather的截屏图”。读图并结合所学知识。回答3~4题。

3. 此时,太阳直射点位于()。

A. 北半球,东半球 B. 南半球,东半球
C. 北半球,西半球 D. 南半球,西半球



4. 此时,下列地理现象可信的是()。

- A. 赤道附近物体正午影子达到一年中较短时段
B. 地球公转速度较快
C. 南极地区的极昼范围在扩大
D. 北京白昼达到一年中的较长时段

北京(40°N)某中学高中生开展地理课外活动,在连续三个月内三次测量正午太阳高度角,获得测量的数据(见下表),据此回答5~6题。

第一次	第二次	第三次		
地点	甲地	乙地	丙地	丁地
白昼时间	5小时30分	9小时09分	11小时25分	13小时30分

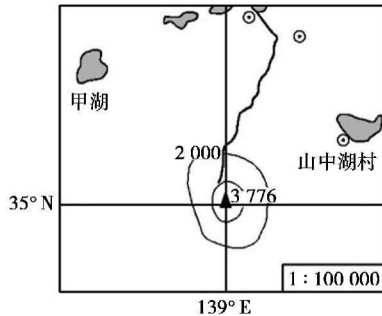
5. 从第一次到第三次测量期间,该地昼夜长短状况及其变化是()。

- A. 先昼短夜长,后昼长夜短,昼渐短
- B. 先昼长夜短,后昼短夜长,夜渐短
- C. 先昼短夜长,后昼长夜短,夜渐短
- D. 先昼长夜短,后昼短夜长,昼渐短

6. 三次测量中,其中一次测量的当天,正值()。

- A. 春分日
- B. 夏至日
- C. 秋分日
- D. 冬至日

2015年某日山梨县山中湖村湖畔惊现“钻石富士”的奇景,太阳落至富士山山顶,如钻石般闪耀,美景持续约1分钟。据此回答7~8题。



7. 摄影爱好者观赏到这一美妙瞬间,可能是在当地时间的()。

- A. 6:30
- B. 12:30
- C. 16:30
- D. 18:30

8. 若想在图中甲湖处欣赏到类似“钻石富士”美景,需要的条件是()。

- A. 夏天万里无云的早晨
- B. 冬天万里无云的早晨
- C. 冬天多云多雨的早晨
- D. 夏天万里无云的傍晚

下表是6月22日甲、乙、丙、丁四地的白昼时间,根据表中数据回答9~11题。

9. 四地最靠近赤道的是()。

- A. 甲地
- B. 乙地
- C. 丙地
- D. 丁地

10. 四地所处纬度从高到低顺序排列的是()。

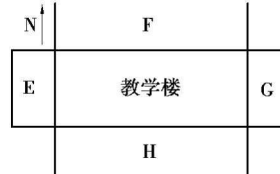
- A. 甲乙丙丁
- B. 甲乙丁丙
- C. 丙丁乙甲
- D. 丁丙乙甲

11. 造成四地白昼时间差异的主要因素是()。

- ①地球的公转
- ②地球的自转
- ③黄赤交角的存在
- ④地方时的不同

- A. ①②
- B. ②③
- C. ③④
- D. ①③

在某学校教学楼四周有E、F、G、H四个运动场,该学校体训队训练时间选择在日出到日落之间的某一时段。某一晴天,F、H两场地整天均无阴影区存在,且当地地方时10时前整个E场地都有阴影,有利于队员训练。据图分析,回答12~13题。



12. 在这一天的白天,G运动场有利于训练的时间为()。

- A. 14—18时
- B. 6—10时
- C. 6—18时
- D. 10—14时

13. 最适宜在F场地训练的月份是()。

- A. 1月
- B. 4月
- C. 7月
- D. 10月

2015年某日,家住北京的李先生在中央电视台大楼东偏南方向的位置,拍摄到太阳“钻进”央视大楼悬挑空间的照片。读图,完成14~15题。



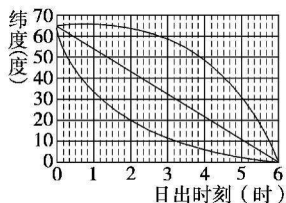
14. 李先生拍摄的时间是()。

- A. 冬季的上午
- B. 冬季的下午
- C. 夏季的上午
- D. 夏季的下午

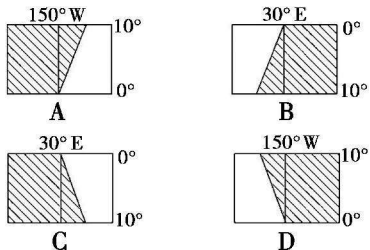
15. 若不考虑天气状况,20天后的X日,李先生将会再次拍摄到同样的景观(在相同的条件下)。则X日可能接近()。

- A. 6月12日 B. 1月2日
C. 7月2日 D. 12月12日

下图是“某日同一经线日出时刻(地方时)随纬度变化图”。图内三条曲线,其中一条是正确的。请阅读正确曲线,回答16~17题。



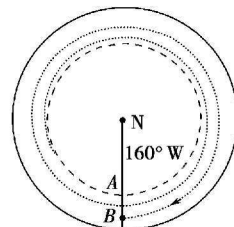
16. 若图表表示6月22日状况,则南纬40°~50°地区的夜长约为()。
 A. 15小时~16小时20分
 B. 17小时~19小时20分
 C. 19小时20分~21小时20分
 D. 22小时40分~23小时20分
17. 若图表表示南半球的状况,当北京时间12点时(图中阴影部分表示黑夜),下列四图中与之相符的是()。



二、综合题

18. 阅读太阳直射点在地球表面移动轨迹示意图,回答问题。

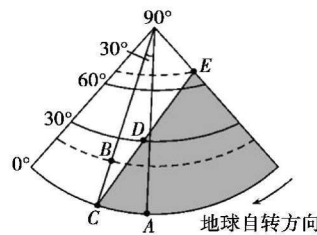
下图中长虚线表示北回归线,点线表示太阳直射点在地球表面的螺旋型移动轨迹。太阳直射点从某一经线位置出发,再次通过同一经线的时间间隔表示一个太阳日。



太阳直射点在地球表面移动轨迹示意图

- (1) 6月22日当太阳直射点位于A点时,北京(116°E)的地方时是_____,北京的日期是_____,与北京日期相同的时区范围是从_____区到东12区。
 (2) 太阳直射点从A点沿移动轨迹向_____方向移动,到达B点时,用时_____小时。期间,地球公转的日地距离逐渐_____,角速度逐渐_____,地球上出现极夜的区域范围逐日_____,B点的正午太阳高度逐日_____。

19. 下图中阴影部分为黑夜,根据图中信息,回答下列问题。



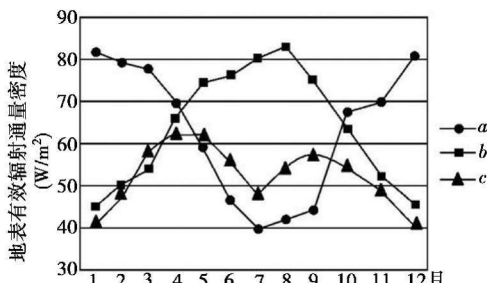
- (1) 选择恰当符号并在图中适当位置标注出图示所在半球的极点。
 (2) 判断CE是晨线还是昏线,并说明它的移动方向。
 (3) 分别判断图示A、B、D、E线速度和角速度的大小。
 (4) 分别判断或计算A、C的地方时。
 (5) 若A点所在的经线为120°E,计算与北京处于同一日期的时区占全球时区的比例。

地球上的大气 测试题

一、选择题

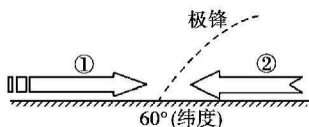
- 地表有效辐射是指地面辐射与地面吸收的大气逆辐射的差值,其通常用地表有效辐射通量密度表

示,通量密度越大,代表有效辐射越大。下图示意我国三个地区地表有效辐射通量密度的不同月份变化,据此回答1~2题。



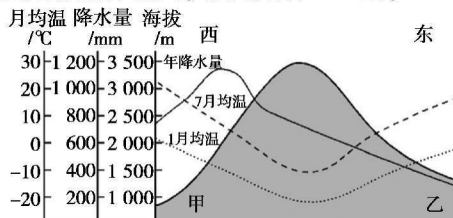
1. 图中 a、b、c 三地分别是()。
- 腾冲、乌鲁木齐和哈尔滨
 - 乌鲁木齐、腾冲和哈尔滨
 - 哈尔滨、乌鲁木齐和腾冲
 - 腾冲、哈尔滨和乌鲁木齐
2. 导致图中三地 1 月和 7 月地表有效辐射差异的主导因素分别是()。
- 太阳辐射、植被状况
 - 大气成分、海陆分布
 - 纬度差异、天气状况
 - 地势高低、大气环流

读极锋(图中虚线)形成示意图,箭头为大气运动路线,完成 3~5 题。



3. 下列说法与图中实际情况相符的是()。
- ①是西南风
 - ②是暖性气流
 - ①是西北风
 - ②是冷性气流
4. 在地球上,图示气压带、风带的数量共有()。
- 三个
 - 四个
 - 五个
 - 六个
5. 受①气流影响明显的地区,不可能形成的气候类型是()。
- 温带海洋性气候
 - 温带季风气候
 - 地中海气候
 - 高山气候

下图为某区域地形剖面及 1 月气温、7 月气温、年降水量变化示意图。据此完成 6~7 题。



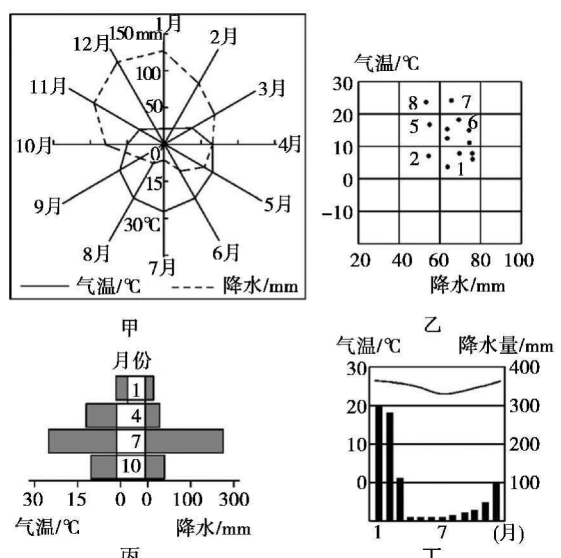
6. 图中甲、乙两地()。

- 降水均集中于夏季
- 植被均为落叶阔叶林
- 甲地太阳能、风能丰富
- 乙地适宜发展畜牧业

7. 图示区域可能位于()。

- 30°S—40°S 欧洲西岸
- 25°N—35°N 亚洲东岸
- 40°N—60°N 美洲西岸
- 35°S—55°S 美洲东岸

下图为四种气候类型气温降水资料图,读图完成 8~9 题。



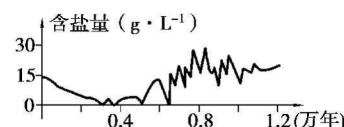
8. 甲~丁气候类型中,某季节气候特征的成因,相同的是()。

- 甲、乙
- 丙、丁
- 乙、丙
- 甲、丁

9. 图示各气候中,只分布在大陆东岸的是()。

- 甲
- 乙
- 丙
- 丁

湖水中盐分含量的变化可以反映湖泊水位以及气候变化,下图示意青海湖近 1.2 万年以来盐分含量的变化情况。读图回答 10~11 题。



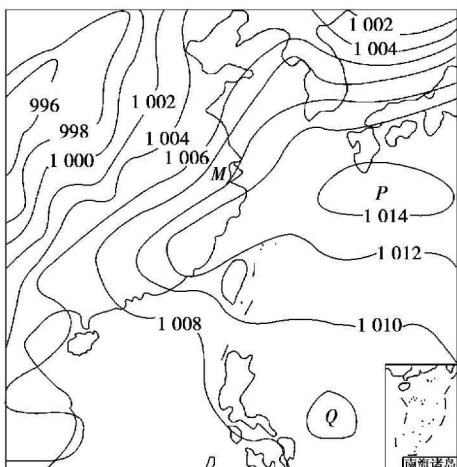
10. 青海湖近 1.2 万年来,最低水位出现的时间距今约()。

- A. 3 700 年
C. 6 900 年

- B. 3 900 年
D. 8 300 年

11. 距今 2 000 年以来, 青海湖的气候变化趋势是()。

读“亚洲东部某时刻等压线(单位: MPa)分布图”, 完成 12~14 题。



12. 若图中 P 气压中心的势力逐渐减弱, 则此时可能是()。

- A. 春末 B. 盛夏 C. 初秋 D. 严冬

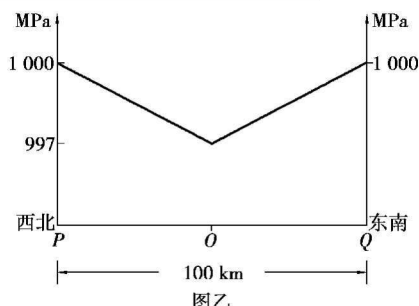
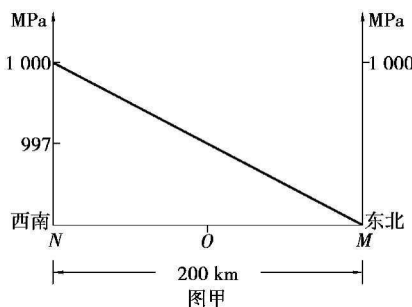
13. Q 处气压值可能是()。

- A. 1 007 B. 1 008 C. 1 009 D. 1 010

14. P 天气系统的名称及受其影响可能出现的天气是()。

- A. 高压脊 沙尘暴 B. 冷锋 干旱
C. 反气旋 伏旱 D. 气旋 台风

图甲、图乙分别为沿 MN、PQ 方向所作的海平面气压分布图。N、O 两点在气压中心 M 的西南方向且在同一条直线上, PQ 垂直于 MN。据此完成 15~17 题。



15. M 地的气流运动状况是()。

- A. 辐散下沉 B. 辐散上升
C. 辐合上升 D. 辐合下沉

16. 控制 O 地的天气系统最可能是()。

- A. 冷锋 B. 暖锋
C. 高压 D. 高压脊

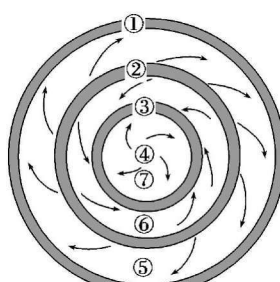
17. 若该天气系统出现于长江中下游地区的夏初, 则 O 地的天气可能是()。

- A. 连绵阴雨天气 B. 强对流降雨天气
C. 沙尘暴天气 D. 晴朗高温天气

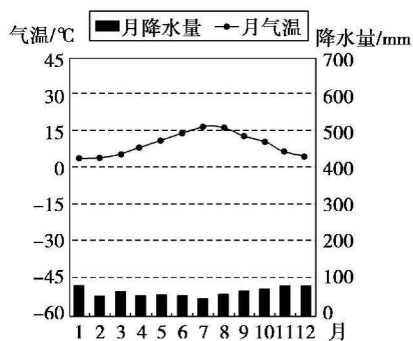
二、综合题

18. 根据材料, 完成下列问题。

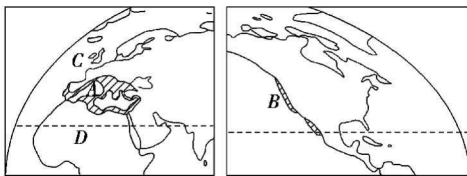
材料一 气压带、风带分布示意图



材料二 某地气候资料图



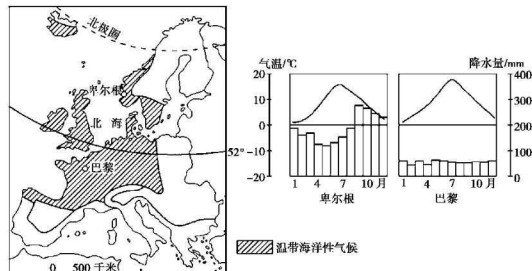
材料三 两大洲的纬度分布组合示意图



- (1) 读材料一,该气压带、风带位于_____半球。在材料三中,D地的气候主要是受图中_____气压带或_____风带(填数码)的控制而形成的。
- (2) 读材料二,该气候类型的名称是_____,其分布的规律是_____。在材料三的A、B、C、D四地中,属于这种气候类型的是_____。
- (3) 读材料三,分析图中阴影部分表示的气候类型在A处分布面积比B处大的原因。
- (4) 读材料三,简要评价A地区气候条件对农业

生产的影响。

19. 下图示意欧洲西部温带海洋性气候的分布及卑尔根和巴黎气候资料。

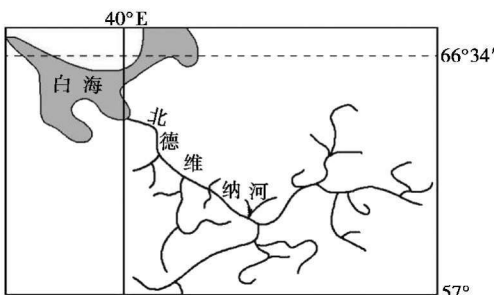


- (1) 指出巴黎和卑尔根两地气候特征的差异性。
 (2) 说出上述两地气候特征差异产生的原因。
 (3) 以北海为界,概括温带海洋性气候在欧洲大陆南北的分布特征并分析其形成原因。
 (4) 从气候角度推测卑尔根和巴黎所在地区小麦生产规模。

地球上的水 测试题

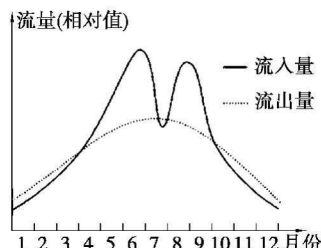
一、选择题

下图是北德维纳河流域示意图,该流域的地形是宽阔的、多丘陵的平原,据此完成1~2题。



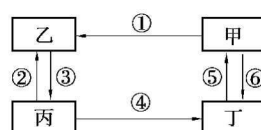
1. 影响该流域冬季降水的海洋气流最主要来自()。
 A. 南方 B. 北方
 C. 东方 D. 西方
2. 该河流主要的补给水源是()。
 ①雨水 ②季节性积雪融水 ③冰川融水
 ④湖泊水
 A. ①② B. ③④
 C. ①③ D. ②④

读下图,回答3~4题。



3. 该水库蓄水的最高水位出现在()。
 A. 5月 B. 6月 C. 10月 D. 12月
4. 该水库最可能位于()。
 A. 黄河流域 B. 塔里木河流域
 C. 长江流域 D. 珠江流域

全球水循环包括大循环和小循环,下图是全球水循环模式图。读图回答5~7题。



5. 图中既属于大循环又属于小循环的环节是()。
 A. ①④ B. ②③ C. ③⑤ D. ⑤⑥

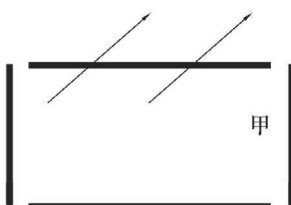
6. 全球变暖可能导致图中各环节水量发生变化,其中与海平面上升直接相关的是()。

- A. ①减少 B. ④增加
C. ⑤减少 D. ⑥增加

7. 实践证明,干旱的内流区大面积造林最终可能导致干旱加剧,原因是()。

- A. 降水总量增加,最终导致区域内大气水体总量减少
B. 地表水下渗增加,最终导致区域内地表水体总量减少
C. 向区域外输送的大气水增加,最终导致区域内水体总量减少
D. 向区域外输送的地表径流增加,最终导致区域内地水体总量减少

图为“某海域大洋环流模式示意图”,图中箭头表示西风带的盛行风向。读图完成8~9题。



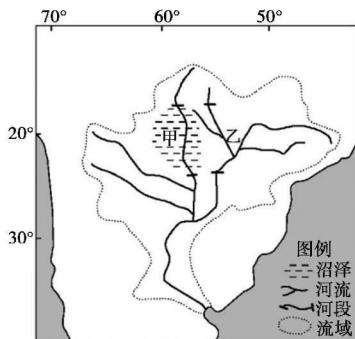
8. 该海域可能是()。

- A. 北半球中高纬海域
B. 南半球中高纬海域
C. 北半球中低纬海域
D. 南半球中低纬海域

9. 甲洋流对沿岸地区气候的影响是()

- A. 增温增湿 B. 增温减湿
C. 降温增湿 D. 降温减湿

读下图,回答10~11题。



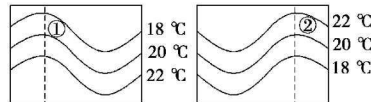
10. 图示河流甲河段比乙河段()。

- A. 流量大
B. 汛期洪峰低
C. 水能资源丰富
D. 含沙量大

11. 图示地区西海岸多大雾的原因可能是()。

- A. 纬度低,气温高,暖空气遇沿岸寒流降温凝结
B. 副热带高压控制,水汽不易扩散
C. 寒暖流交汇,水汽易凝结
D. 板块交界处多温泉,水汽充沛

读下图,完成12~13题。



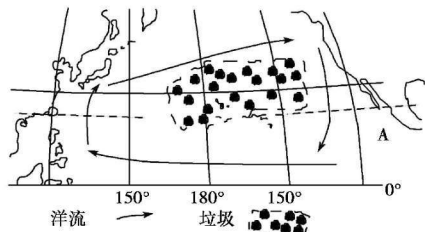
12. 在上面的两幅海水等温线图中,虚线表示洋流,下列叙述中不正确的是()。

- A. ①是暖流,位于北半球
B. ②是暖流,位于南半球
C. ①②均向北流动
D. ①位于大陆东岸,②位于大陆西岸

13. 如果②洋流在大西洋中,有可能是()。

- A. 巴西暖流
B. 本格拉寒流
C. 东澳大利亚暖流
D. 加那利寒流

在北太平洋海域,由人类产生的难以降解的塑料垃圾漂浮到此堆积而成的“太平洋垃圾大陆”正在诞生,面积也在不断扩大。读图完成14~15题。

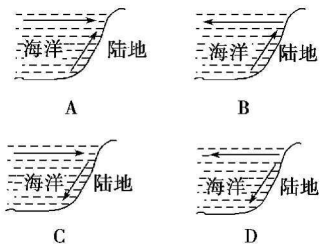


14. 下列关于“太平洋垃圾大陆”的叙述,最不可信的是()。

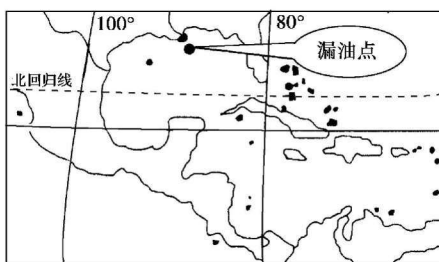
- A. 位于北太平洋以副热带为中心的大洋环流系统的内部

- B. 主要位于副热带无风带,漂浮物不易扩散
 C. 组成“太平洋垃圾大陆”的漂浮物主要来自亚洲和北美洲
 D. 沿岸上升流是形成“太平洋垃圾大陆”的主要动力

15. 图中A海域若有一大渔场,用洋流剖面示意图来解释其成因,应是()。



2010年4月20日,墨西哥湾发生漏油事件,造成严重海洋污染,有关专家担心浮油可能“侵入”大西洋,甚至漂向欧洲沿海,读墨西哥海域示意图,回答16~17题。



16. 可能使浮油“侵入”大西洋,漂向欧洲沿海的洋流是()。

- ①墨西哥湾暖流 ②阿拉斯加暖流 ③加利福尼亚寒流 ④北大西洋暖流
 A. ①③ B. ①④ C. ②③ D. ②④

17. 石油污染对墨西哥湾沿岸产生的影响有()。

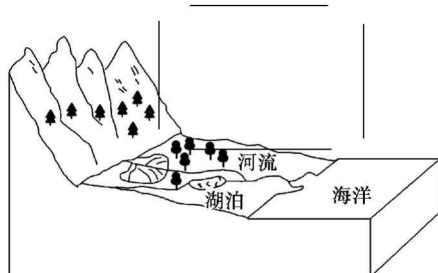
- ①引发赤潮 ②旅游业遭受打击 ③降水增多

- ④破坏海洋生态系统

- A. ①③ B. ①④ C. ②③ D. ②④

二、综合题

18. 结合下图,回答问题。



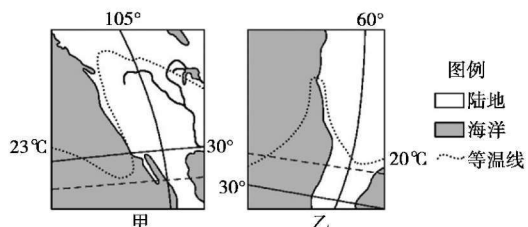
图例 ● 落叶阔叶林 ♦ 针叶林

(1) 请在图中的线段中标上箭头,用以表示出该地区的水循环过程。

(2) 若图中山脉的最高峰为5 000 m,请指出图中河流的水源补给类型。

(3) 结合水循环原理,说明植被破坏对该区域地理环境的影响。

19. 读两地区某月等温线示意图,回答下列问题。



(1) 分别判断甲、乙两图所示季节,试说明理由。

(2) 甲图中等温线在海洋和陆地上都发生了弯曲,请分析其影响因素。

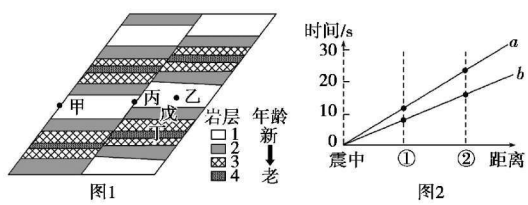
(3) 在甲、乙两图中各有一洋流,用“→”标出其运动方向,并标明洋流的名称。

(4) 分析甲图中洋流对沿岸气候的影响和乙图中洋流经过海域渔业资源丰富的原因。

地表形态的塑造 测试题

一、选择题

图1为某地区的水平地质剖面图。某日发生地震(丙地的地表为震中),根据甲、乙两地测站的地震波记录,绘出了地震横波与纵波的走时曲线图(图2)。据此完成1~2题。

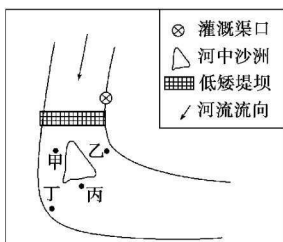


1. 仅考虑地壳运动对岩层的影响,则同为砂岩的乙、戊、丁,其岩层坚硬程度从大到小排序是()。

- A. 丁 乙 戊 B. 戊 丁 乙
C. 戊 乙 丁 D. 乙 戊 丁

2. 下列关于图乙的叙述,正确的是()。

- A. 横坐标向右增大,则反映出烈度越来越大
B. ①表示甲地的测站,②表示乙地的测站
C. a线表示纵波走时曲线图,b线表示横波走时曲线图
D. 越靠近震中,纵波与横波到达时的时间差越小
河中垂钓,钓点是关键,钓点宜选在饵料丰富且易于观察浮漂之地。某次中雨过后,江南某地的小军来到图示河段垂钓。此时,他发现河水已漫过人工堤坝,河中沙洲仍露出水面。据此完成3~5题。



3. 有关图中河流的叙述正确的是()。

- A. 堤坝的东侧较西侧容易垮塌
B. 河中沙洲主要受流水侵蚀作用而形成
C. 堤坝上游河段:东侧河水较西侧深
D. 小军垂钓时:丁处河水较丙处污浊

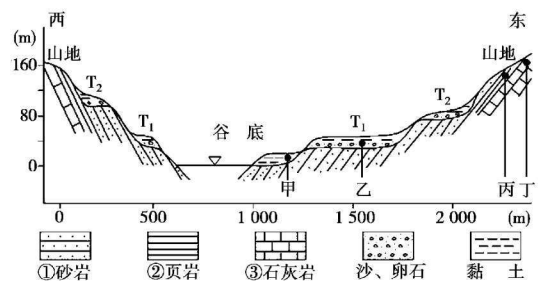
4. 本次垂钓,钓钩最适宜投放于()。

- A. 甲处 B. 乙处 C. 丙处 D. 丁处

5. 图中堤坝较低矮,主要是考虑()。

- A. 蓄洪 B. 灌溉 C. 发电 D. 排水

下图为某河谷地质、地貌剖面图,图中地层年代由①到③变老。图中阶地(用T表示,数字下标表示阶地的级数)指由河流作用形成的高出洪水位的阶梯状地貌。此河段阶地主要由于地壳抬升形成。完成6~7题。



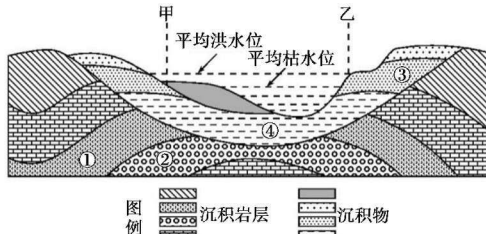
6. 对河谷处的地质构造类型和两侧地壳抬升幅度的判断,正确的是()。

- A. 向斜 东侧大 B. 背斜 东侧小
C. 向斜 西侧大 D. 背斜 西侧小

7. 矿产调查发现,在此河段的河床沙中有某种贵重金属矿产,但由于河水深不易开采。图中所示地点可能找到这种贵重金属矿物的是()。

- A. 甲 B. 乙 C. 丙 D. 丁

下图为“某河谷剖面图”。读图,回答8~9题。



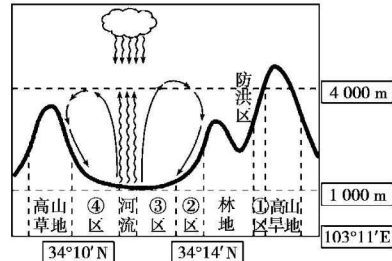
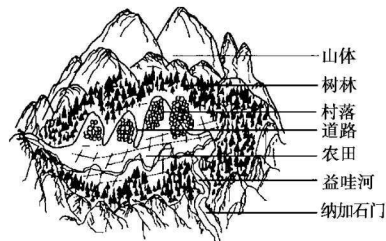
8. 该河谷()。

- A. 最可能位于河流上游
B. 位于背斜构造的顶部
C. 乙处位于河流的凸岸
D. 右岸侵蚀,左岸形成沙洲

9. 图中()。

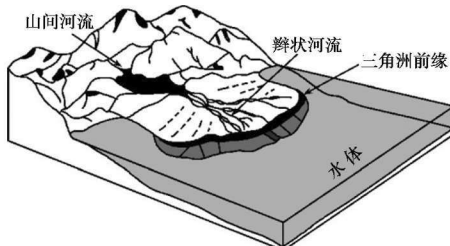
- A. 地层形成的先后顺序是④①②
B. ③处地层断裂下陷
C. 沉积岩层因地壳运动而弯曲
D. 甲地适合聚落的发展

中国传统文化对村寨聚落的空间格局影响深远,山区村寨聚落的理想空间格局为“盆地—豁口—走廊”的壶天结构,符合中国人心目中理想的“山—林—屋—水—林”景观模式。读“甘肃省迭部县扎尕那村聚落景观空间分布示意图”,完成10~11题。



10. 该聚落居住地的最佳选址应该在()。
A. ①区 B. ②区 C. ③区 D. ④区
11. 影响该区域人类活动空间分布的主导因素是()。
A. 热量 B. 光照 C. 降水 D. 地形

扇三角洲是由邻近高地推进到稳定水体中的冲积扇。辫状河流多发育在山区或河流上游河段以及冲积扇上,多河道,多次分叉和汇聚构成辫状。读图,完成12~13题。



12. 关于扇三角洲的叙述,正确的是()。
A. 一般发育在河流入海口
B. 前缘沉积物颗粒较大
C. 一般发育在河流出山口
D. 周边水体一定是湖泊
13. 关于图中辫状河流的叙述,正确的是()。
A. 以下蚀作用为主,河道较深
B. 以侧蚀和堆积作用为主,多河道
C. 主要由高山冰雪融水补给,流量小
D. 主要由地下水补给,流量稳定

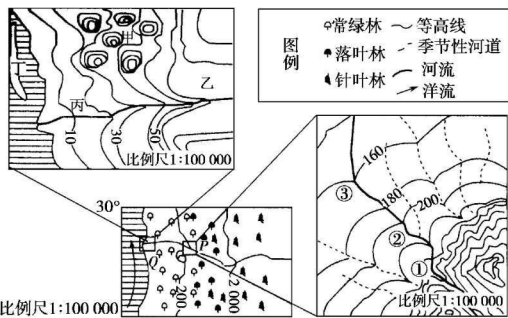
迂回扇是河漫滩表面形态,由一系列有规律地分布于凸岸边滩上的滨河床沙坝构成。沙坝向下游方向辐聚,向上游方向辐散。迂回扇是在河湾侧向蠕移过程中产生的。因侧向运动是脉动式而不是连续均匀地发生的,故当河弯侧蚀较慢时,凸岸边滩外缘的滨河床沙坝不断加高。当河弯侧蚀加快后,凸岸边滩迅速淤长。若侧蚀再度减缓,则在凸岸边滩外缘新的位置上又会出现相对高起的滨河床沙坝。该过程反复进行,便形成完整的迂回扇。读图,完成14~15题。



14. 图中河流总体流向和最先形成的滨河床沙坝分别是()。
A. 自东向西 1 B. 自西向东 4
C. 自西向东 1 D. 自东向西 4

15. 下列有助于迂回扇形成和发展的条件是()。
A. 河流弯曲度小
B. 水位的季节变化大
C. 地形崎岖,落差大
D. 含沙量小

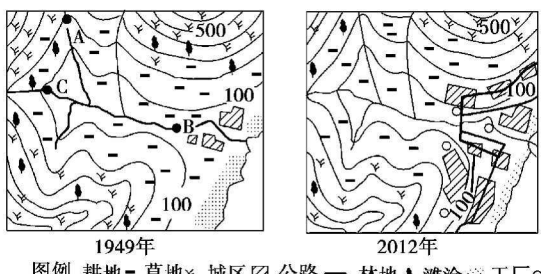
下图为某地区自然景观分布示意图,以及P、Q两区域的等高线图,读图回答16~18题。



16. 图中P处的地貌名称是()。
A. 河漫滩 B. 冲积扇
C. 三角洲 D. 侵蚀平原
17. P处沉积作用最显著的月份是()。
A. 1月 B. 3月 C. 7月 D. 10月
18. 按照“地势平坦、取水方便、无水患洪灾之地建立聚落”的原则,聚落选址在Q地的最佳位置是()。
A. 甲地 B. 乙地 C. 丙地 D. 丁地

二、综合题

19. 下图是北纬30°附近我国东部某地1949年和2012年的土地利用变化示意图,读图回答下列问题。



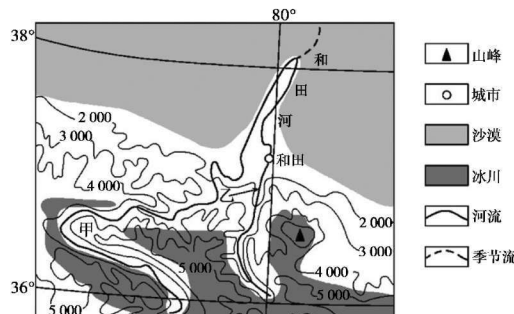
(1)图中A、B两处河谷形态差别很大,A处呈_____,B处呈_____。

(2)C处典型的河流地貌是_____,成因是_____。

(3)根据该地区土地利用类型的变化,推测河口三角洲面积的变化并说明原因。

(4)从图示聚落分布,试分析该地区聚落沿河、沿海岸分布的原因。

20.下图是新疆和田区位略图。和田是著名的“玉石之都”。和田玉为变质岩,其矿体分布在海拔4 000 m以上的昆仑山高山地区,乙处河滩玉石富集,是拾玉的重要地段,秋季又是在此拾玉的最佳季节。读图回答问题。



(1)结合地形条件,说明甲处狭长区域没有冰川分布的原因。

(2)说明乙处河滩玉石富集的外力作用过程。

(3)分析秋季成为乙处最佳拾玉季节的自然原因。

自然地理环境的整体性和差异性 测试题

一、选择题

曾经的西双版纳,橡胶林在低于海拔800 m的低山、丘陵地带随处可见。下图为当时因植被破坏而引起的恶性循环示意图。现今的西双版纳采用上层种植乔木树种,下层种植茶树、咖啡等喜光的灌木植物,底层种植药材、草果等喜阴的地被植物,实现了经济效益、社会效益和生态效益的统一。完成1~2题。



1.图示时期植被破坏导致水土流失加剧,体现了()。

- A. 自然地理环境各要素相互作用产生新功能
- B. 自然地理环境各个要素的发展演化是统一的
- C. 某一地理要素的变化导致整个地理环境状态的改变
- D. 每个地理要素的演化都是自然地理环境演化的一个方面

2.现今的西双版纳农业生产类型属于()。

- A. 雨林生态农业
- B. 热带种植园农业
- C. 基塘农业
- D. 河谷农业

在寒冷气候条件下,土壤或岩层中冻结的冰在白天融化、晚上冻结,或者夏季融化、冬季冻结。这种融化、冻结的过程称为冻融作用。经冻融分选作用,泥土和小的岩屑集中在中间,大的岩块被排挤到

周边,呈多边形或近圆形,好像有意将石头摆成一圈,这种地貌叫做石环。读图完成3~4题。



3.石环地貌形成的必要条件有()。

- ①地形起伏较大
- ②岩石块颗粒大小均匀
- ③有充足的水分
- ④气温在零摄氏度上下波动的持续时间较长

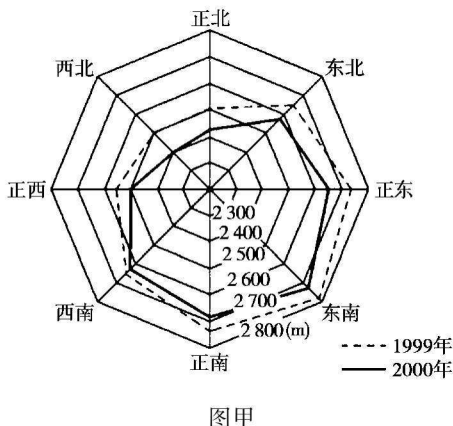
A. ①② B. ③④ C. ①③ D. ②④

4.下列地区中可能发育有石环的是()。

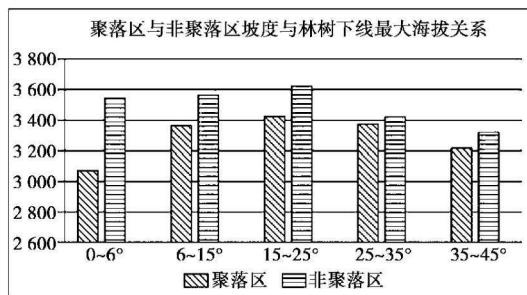
- A. 撒哈拉沙漠
- B. 云贵高原
- C. 西西伯利亚平原
- D. 亚马孙平原

干旱河谷上游地区的小叶灌丛与落叶阔叶林的混合交错带称为林树下线。某河流上游山地植被垂直带谱为亚热带常绿阔叶林—干旱河谷小叶灌丛—温带落叶阔叶林—针阔叶混交林—云杉、冷杉林—高山灌丛、草甸。图甲是该河流上游河谷林树下线海拔与坡向的关系及变化示意图,图乙是该河流上

游河谷聚落区与非聚落区坡度与林树下线最大海拔关系图。读图回答5~7题。



图甲



图乙

5. 该地水分条件最好的坡向是()。

- A. 东南坡 B. 东北坡
C. 西南坡 D. 西北坡

6. 该地林树下线的海拔()。

- A. 随坡度增加而降低 B. 随坡度增加而升高
C. 聚落区较低 D. 非聚落区较低

7. 1999—2009年,该地林树下线变化的主要人为原因是()。

- A. 过度樵采 B. 毁林开荒
C. 修建梯田 D. 人工育林

亚寒带针叶林带的气候特点是长冬严寒,短夏温暖,气温年较差大;年降水量为300~600 mm。下图为亚寒带针叶林带分布范围示意图,读图回答8~9题。



8. 导致亚寒带针叶林在大陆东西两岸分布纬度差异

显著的主导因素是()。

- A. 地形 B. 洋流 C. 水分 D. 昼长

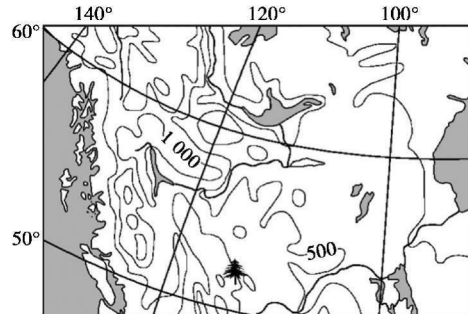
9. 亚寒带针叶林带气温年较差大的最主要原因是()。

- A. 针叶林,对气温的调节作用弱
B. 距海远,受海洋调节作用较小
C. 海拔高,大气逆辐射作用较弱
D. 纬度高,年内太阳辐射变化大

人类活动分隔了野生动物栖息地,在分隔的栖息地间修建的“走廊”称为野生动物通道,如“绿桥”(图甲)等。班夫国家森林公园(图乙)的野生动物通道结合当地气候、水文特征并与植被、地形融为一体,有效降低了人类活动的干扰。据此完成10~11题。



图甲



国家
森
林
公
园

10.“绿桥”上面一般会种上高大的乔木和低矮灌木草本植物,这样做的主要目的是()。

- A. 为食草性动物提供食物
B. 削弱过往车辆光线和噪声
C. 绿化美化“绿桥”景观
D. 为了保持“绿桥”的水土

11. 班夫国家森林公园“绿桥”所种植乔木的主要类型最可能是()。

- A. 常绿硬叶林 B. 常绿阔叶林
C. 针叶林 D. 落叶阔叶林